

科学版

高等院校电子信息类学习指导丛书

模拟电子线路

习题精解

宋文涛 王汝君 编
钱秀珍 华南盾

- ◆ 课程学习与考研复习的理想读物
- ◆ 通过典型例题教授解题技巧
- ◆ 习题中收录了研究生入学试题

 科学出版社
www.sciencep.com

TN710-44

7

高等院校电子信息类学习指导丛书

模拟电子线路习题精解

宋文涛 王汝君 编
钱秀珍 华南盾

科学出版社

北京

内 容 简 介

本书是依据高等学校《工科本科基础课程教学基本要求(1995年修订版)》的“电子线路(I)、(II)课程教学基本要求”、“电子线路(I)、(II)实验教学基本要求”编写的。内容包含半导体器件与模型、基本放大电路、高频放大电路、正弦波振荡、频率变换、反馈与控制、基本电子测量仪器、半导体器件与电路参数测量等19章。每章列出重点与难点,有例题精选、习题及答案。总计例题精选234道,习题492道。

本书可供电子信息工程、电子科学与技术等专业本科教学使用;电视大学、函授大学、职业大学、业余大学和自学考试等同类专业可选用;亦可供电气自动化、计算机等专业学生和从事信息工程工作的技术人员参考。

图书在版编目(CIP)数据

模拟电子线路习题精解/宋文涛等编. —北京:科学出版社, 2002

(高等院校电子信息类学习指导丛书)

ISBN 7-03-010744-6

I . 模 … II . 宋 … III . 模拟电路 - 电子技术 - 高等学校 - 解题
IV . TN710 - 44

中国版本图书馆 CIP 数据核字(2002)第 065804 号

责任编辑:马长芳 / 责任校对:钟 洋

责任印制:刘秀平 / 封面设计:陈 敬

科学出版社出版

北京东黄城根北街16号

邮政编码:100717

<http://www.sciencep.com>

新蕾印刷厂 印刷

科学出版社发行 各地新华书店经销

*

2003年1月第 一 版 开本: B5(720×1000)

2003年1月第一次印刷 印张: 30 1/2

印数:1—5 000 字数: 607 000

定价:34.00 元

(如有印装质量问题,我社负责调换(环伟))

前　　言

电子线路课程是电子信息类专业的主要技术基础课,是培养学生掌握“硬件能力”的关键课程之一,课程内容具有概念多、电路类型多和分析方法多等特点。为了帮助学生在学习中更好地掌握电子线路各部分的基本工作原理、典型电路的基本分析方法和基本计算方法,提高分析问题和解决问题的能力,特编写本书。

本书以 1995 年国家教育委员会高校工科电工课程教学指导委员会(电子线路小组)修订的《电子线路(I)、(II)课程教学基本要求》、《电子线路(I)、(II)实验教学基本要求》为依据。编者曾参加上述教学基本要求的制订与修订,主编《电子线路试题集》(高等教育出版社,1989 年)、《电子线路试题集题解》(东南大学出版社,1990 年),于 1994~1998 年负责“九五”国家重点科技攻关项目 02 专题子专题“电子线路试题库”的研制工作,积累了大量的资料。以此为基础,结合多年的教学实践,考虑了近年课程内容的发展,完成本书的编写。

在编写过程中,考虑到便于学生掌握要点,分清主次,每章均列出重点与难点,选题注意内容合理布局,题目有难有易;在编写例题的精解时,注意突出物理概念和明确解题思路;习题的答案中,对于有一定难度者,不是简单地给出答案的结果,而是给出提示或说明,便于理解。

全书内容包含半导体器件与模型、基本放大电路、高频放大、正弦波振荡、频率变换、反馈与控制、基本电子测量仪器、半导体器件与电路参数的测量等 19 章。第 1~3,6,12 章由王汝君编写;第 4,5,7~9,13~15 章由钱秀珍编写;第 10,17~19 章由华南盾编写;宋文涛编写第 11,16 章并负责全书统稿。王汝君协助宋文涛对全书定稿。

本书的编写完成,与过去的工作有密切关系,在此谨向《电子线路试题集》编写组的老师、参加“电子线路试题库”研制工作的老师表示衷心感谢;向华东地区高校电子线路课程教学研究会有关高校的老师表示感谢。本书的编写得到东南大学谢嘉奎教授的推荐、关心,在此一并表示感谢。

限于编者水平,书中错误难免。谬误之处,敬请读者指正。

编　　者

2001.12

目 录

第 1 章 半导体器件原理	(1)
第 2 章 半导体三极管基本放大电路	(29)
第 3 章 场效应管基本放大电路	(86)
第 4 章 差动放大电路	(117)
第 5 章 多级放大电路	(144)
第 6 章 负反馈放大电路	(173)
第 7 章 放大电路的频率响应和噪声	(207)
第 8 章 集成运算放大器	(235)
第 9 章 低频功率放大器	(298)
第 10 章 直流稳压电源	(317)
第 11 章 高频功率放大器	(329)
第 12 章 正弦波振荡器	(339)
第 13 章 振幅调制与解调	(374)
第 14 章 角度调制与解调	(402)
第 15 章 混频器	(431)
第 16 章 反馈控制、锁相技术	(443)
第 17 章 模拟乘法器	(451)
第 18 章 实验室常用电子仪器原理及使用技术	(457)
第 19 章 半导体器件及模拟电路的参数测量	(463)
参考文献	(483)

第1章 半导体器件原理

重点与难点

1. 重点

- (1) 半导体器件(晶体二极管、三极管及场效应管)导电的工作原理。
- (2) 半导体器件的外部特性及主要参数。
- (3) 二极管的运用和二极管电路的分析方法。
- (4) 晶体三极管和场效应管的微变等效电路。

2. 难点

- (1) 器件内部的物理过程。
- (2) 器件特性的物理概念。
- (3) 埃伯尔斯-莫尔模型的推导。

例题精选

1.1 在一本征硅中,掺入施主杂质,其浓度 $N_D = 2 \times 10^{14} \text{ cm}^{-3}$ 。

- (1) 求室温 300 K 时自由电子和空穴的热平衡浓度值,并说明半导体为 P 型或 N 型。
- (2) 若再掺入受主杂质,其浓度 $N_A = 3 \times 10^{14} \text{ cm}^{-3}$,重复(1)。
- (3) 若 $N_D = N_A = 10^{15} \text{ cm}^{-3}$,重复(1)。
- (4) 若 $N_D = 10^{16} \text{ cm}^{-3}$, $N_A = 10^{14} \text{ cm}^{-3}$,重复(1)。

解:(1) 已知本征硅室温时热平衡载流子浓度值 $n_i = 1.5 \times 10^{10} \text{ cm}^{-3}$, 施主杂质 $N_D = 2 \times 10^{14} \text{ cm}^{-3} \gg n_i = 1.5 \times 10^{10} \text{ cm}^{-3}$, 所以可得多子自由电子浓度为

$$n_0 \approx N_D = 2 \times 10^{14} \text{ cm}^{-3}$$

少子空穴浓度

$$p_0 = \frac{n_i^2}{n_0} = 1.125 \times 10^6 \text{ cm}^{-3}$$

该半导体为 N 型。

- (2) 因为 $N_A - N_D = 1 \times 10^{14} \text{ cm}^{-3} \gg n_i$, 所以多子空穴浓度

$$p_0 \approx 1 \times 10^{14} \text{ cm}^{-3}$$

少子电子浓度

$$n_0 = \frac{n_i^2}{p_0} = 2.25 \times 10^6 \text{ cm}^{-3}$$

该半导体为P型。

(3) 因为 $N_A = N_D$, 所以

$$p_0 = n_0 = n_i = 1.5 \times 10^{10} \text{ cm}^{-3}$$

该半导体为本征半导体。

(4) 因为 $N_D - N_A = 10^{16} - 10^{14} = 99 \times 10^{14} (\text{cm}^{-3}) \gg n_i$, 所以, 多子自由电子浓度

$$n_0 = 99 \times 10^{14} \text{ cm}^{-3}$$

空穴浓度

$$p_0 = \frac{n_i^2}{n_0} = \frac{(1.5 \times 10^{10})^2}{99 \times 10^{14}} = 2.27 \times 10^4 (\text{cm}^{-3})$$

该半导体为N型。

1.2 当 $T = 300 \text{ K}$ 时, 锗和硅二极管的反向饱和电流 I_S 分别为 $1 \mu\text{A}$ 和 0.5 pA 。如果将此两个二极管串联连接, 有 1 mA 的正向电流流过, 试问它们的结电压各为多少?

解: $T = 300 \text{ K}$ 时, 热电压 $V_T = 26 \text{ mV}$

$$\text{二极管正偏时, } I = I_S \cdot \exp\left(\frac{V_D}{V_T}\right)$$

$$\text{对于硅管: } V_D = V_T \ln \frac{I}{I_S} = 556.4 \text{ mV}$$

$$\text{对于锗管: } V_D = V_T \ln \frac{I}{I_S} = 179.6 \text{ mV}$$

1.3 室温 27°C 时, 某硅二极管的反向饱和电流 I_S 为 0.1 pA 。

(1) 当二极管正偏电压为 0.65 V 时, 二极管的正向电流为多少?

(2) 当温度升高至 67°C 或降低至 -10°C 时, 试分别计算二极管的反向饱和电流。此时, 如保持(1)中的正向电流不变, 则二极管的正偏电压为多少?

解:(1) 二极管正偏时,

$$I = I_S e^{\frac{V_D}{V_T}} = 0.1 \times 10^{-12} e^{\frac{650}{26}} = 7.2 (\text{mA})$$

(2) 当温度上升 10°C 时, I_S 增加 1 倍, 则

$$I_{S(67^\circ\text{C})} = I_{S(27^\circ\text{C})} 2^{\frac{67-27}{10}} = 1.6 \text{ pA}$$

$$I_{S(-10^\circ\text{C})} = I_{S(27^\circ\text{C})} 2^{\frac{-10-27}{10}} = 7.7 \times 10^{-3} \text{ pA}$$

温度上升时, I_S 增加, 为保持二极管电流不变, 正偏电压下降; 反之, 正偏电压增加。

$$T = 67^\circ\text{C} \text{ 时, } V_D = V_T \ln \frac{I}{I_S} = 26 \text{ mV} \times \ln \frac{7.2 \times 10^{-3} \text{ A}}{1.6 \times 10^{-12} \text{ A}} = 578 \text{ mV}$$

$$T = -10^\circ\text{C} \text{ 时, } V_D = 26 \text{ mV} \times \ln \frac{7.2 \times 10^{-3} \text{ A}}{7.7 \times 10^{-15} \text{ A}} = 716.7 \text{ mV}$$

如用经验公式, 即温度升高 1°C 时, 二极管的导通电压下降 $2 \sim 2.5 \text{ mV}$, 现取 2 mV , 则

$$T = 67^\circ\text{C} \text{ 时, } V_D = 650 - 2(67^\circ - 27^\circ) = 570 \text{ (mV)}$$

$$T = -10^\circ\text{C} \text{ 时, } V_D = 650 - 2(-10^\circ - 27^\circ) = 724 \text{ (mV)}$$

1.4 二极管电路如图 1.4 所示。已知直流电源电压为 6V , 二极管直流管压降为 0.7V , 二极管的体电阻为 10Ω 。

- (1) 试求流过二极管的直流电流。
- (2) 二极管的直流电阻 R_D 和交流电阻 r_a 各为多少?

解:(1) 流过二极管的直流电流也就是图 1.4 的回路电流, 即

$$I_D = \frac{6 - 0.7}{100} \text{ A} = 53 \text{ mA}$$

$$(2) R_D = \frac{0.7 \text{ V}}{53 \times 10^{-3} \text{ A}} = 13.2 \Omega$$

$$r_a = \frac{V_T}{I_D} + \text{体电阻} = \frac{26 \times 10^{-3} \text{ V}}{53 \times 10^{-3} \text{ A}} + 10 \Omega = 10.49 \Omega$$

1.5 电路如图 1.5(a)所示。设二极管的正向导通电压为 0.7 V , 电容 C_1 和 C_2 容量足够大对信号可视作短路。 $v_i = 1 \sin \omega t \text{ (V)}$ 。

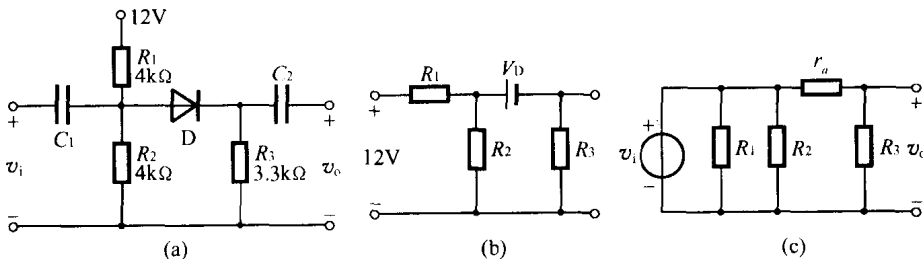


图 1.5

- (1) 试画出直流等效电路和交流等效电路。

- (2) 求输出电压 v_o 的值。

解:(1) 直流等效电路如图 1.5(b)所示, 交流等效电路如图 1.5(c)所示。

(2) 由图 1.5(c)可求得 v_o 的值, 为此应先求 r_a 的值。先由图 1.5(b)求得流过二极管的直流电流:

$$I_D = \frac{12 \times \frac{R_2}{R_1 + R_2} - V_D}{R_1 // R_2 + R_3} = \frac{12 \times \frac{4}{4+4} - 0.7}{4 // 4 + 3.3} = 1 \text{ mA}$$

$$r_a = \frac{V_T}{I_D} = \frac{26}{1} = 26 \Omega$$

$$v_o = \frac{R_3}{R_3 + r_a} v_i = \frac{3.3}{3.3 + 0.026} \times \sin \omega t = 992 \sin \omega t \text{ mV}$$

1.6 二极管电路如图 1.6(a) 所示, 设 D 为理想二极管。

(1) 试画出电路的传输特性(v_o - v_i 特性)。

(2) 假定输入电压如图 1.6(b) 所示, 试画出相应的 v_o 波形。

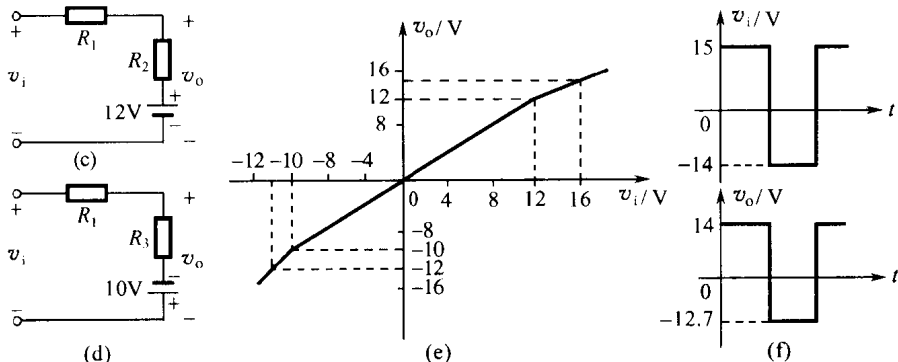
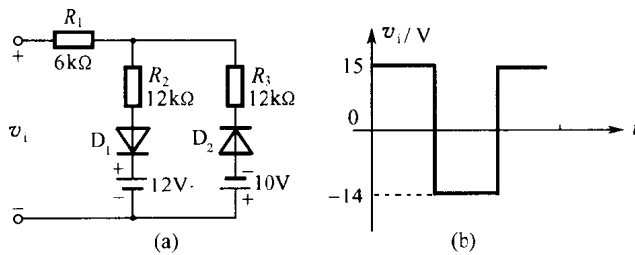


图 1.6

解:(1) 当 $v_i < 12 \text{ V}$, 且 $v_i > -10 \text{ V}$, D_1 和 D_2 同时截止, 则 $v_o = v_i$; 当 $v_i \geq 12 \text{ V}$ 时, D_1 导通, D_2 截止, 此时电路可简化成图 1.6(c)。

由图 1.6(c) 可得:

$$v_o = 12 \text{ V} + (v_i - 12 \text{ V}) \frac{R_2}{R_1 + R_2} = 4 \text{ V} + \frac{2}{3} v_i$$

如 $v_i = 16 \text{ V}$, $v_o = 14.7 \text{ V}$ 。

当 $v_i \leq -10 \text{ V}$ 时, D_1 截止, D_2 导通, 此时电路可简化成图 1.6(d)。此时

$$v_o = -10 \text{ V} + (v_i + 10 \text{ V}) \times \frac{R_3}{R_1 + R_3} = -\frac{10}{3} \text{ V} + \frac{2}{3} v_i$$

如 $v_i = -12 \text{ V}$, $v_o = -11.33 \text{ V}$ 。

由上可得传输特性如图 1.6(e)所示。

(2) 输出波形如图 1.6(f)所示。

$$v_i = +15 \text{ V} \text{ 时}, \quad v_o = 4 \text{ V} + \frac{2}{3} v_i = 14 \text{ V}$$

$$v_i = -14 \text{ V} \text{ 时}, \quad v_o = -\frac{10}{3} \text{ V} + \frac{2}{3} v_i = -12.7 \text{ V}$$

1.7 稳压管电路如图 1.7 所示。

(1) 设 $V_i = 20(1 \pm 10\%) \text{ V}$, 稳压管 D_Z 的稳定电压 $V_Z = 10 \text{ V}$, 允许最大稳定电流 $I_{Z\max} = 30 \text{ mA}$, $I_{Z\min} = 5 \text{ mA}$, $R_L\min = 800 \Omega$, $R_L\max = \infty$ 。试选择限流电阻 R 的值。

(2) 稳压管的参数如(1)中所示, $R = 100 \Omega$, $R_L = 250 \Omega$, 试求 V_i 允许的变化范围。

(3) 稳压管的参数如(1)中所示, 当 $V_Z = 10 \text{ V}$ 时, 其工作电流 $I_Z = 20 \text{ mA}$, $r_Z = 12 \Omega$, 如 $V_i = 20 \text{ V}$ 不变, 试求 R_L 从无穷大变化到 $1 \text{ k}\Omega$ 时, 输出电压变化的值 ΔV_o 为多少?

解:(1) 因为

$$R_{\min} = \frac{V_{i\max} - V_Z}{I_{Z\max} + I_{L\min}} = \frac{(22 - 10) \text{ V}}{30 \text{ mA}} = 400 \Omega$$

式中, 因 $R_{L\max} \rightarrow \infty$, 所以 $I_{L\min} = 0$, $V_{i\max} = 20 + 20 \times 0.1 = 22 \text{ V}$

$$R_{\max} = \frac{V_{i\min} - V_Z}{I_{Z\min} + I_{L\max}} = \frac{(18 - 10) \text{ V}}{(5 + 12.5) \text{ mA}} = 457 \Omega$$

式中 $I_{L\max} = \frac{10}{800} = 12.5 \text{ mA}$, $V_{i\min} = (20 - 20 \times 0.1) \text{ V} = 18 \text{ V}$

选择 R 应满足: $400 \Omega < R < 457 \Omega$

(2) 当 $R_L = 250 \Omega$ 时, $I_L = \frac{10}{250} = 40 \text{ mA}$ 。

$$\begin{aligned} \text{当 } I_Z \text{ 达到最大时, } V_{i\max} &= (I_{Z\max} + I_L)R + V_Z \\ &= (30 + 40) \times 0.1 + 10 = 17(\text{V}) \end{aligned}$$

$$\begin{aligned} \text{当 } I_Z \text{ 为 } I_{Z\min} \text{ 时, } V_{i\min} &= (I_{Z\min} + I_L)R + V_Z = (5 + 40) \times 0.1 + 10 \\ &= 14.5(\text{V}) \end{aligned}$$

即 V_i 的变化范围是 $14.5 \sim 17 \text{ V}$ 。

(3) 当 $R_L = \infty$ 时, $V_o = 10 \text{ V}$ 。

$$\text{当 } R_L = 1 \text{ k}\Omega \text{ 时, } V_o = 10 \text{ V} \times \frac{R_L}{r_Z + R_L} = 10 \times \frac{1000}{12 + 1000} = 9.8814(\text{V})$$

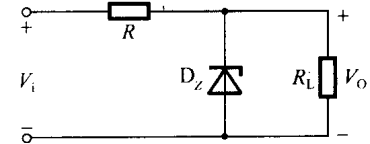


图 1.7

$$\Delta V_o = 9.8814 - 10 = -118.6(\text{mV})$$

或

$$|\Delta V_o| = V_Z \frac{r_Z}{R_L + r_Z} = 10 \times \frac{12}{1000 + 12} = 118.6(\text{mV})$$

1.8 已知晶体管工作在线性放大区，并测得其各极电压如图 1.8 所示。试画出晶体管的电路符号，并分别说明是硅管还是锗管。

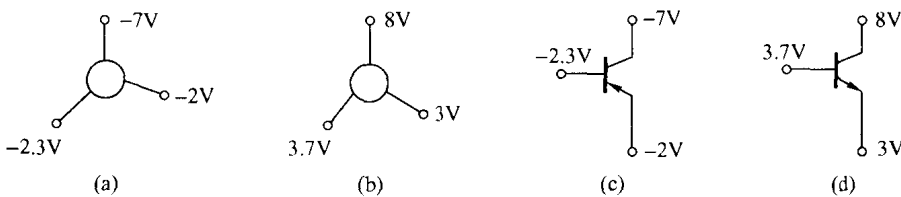


图 1.8

解：因器件工作在放大器，发射结正偏，集电结反偏；对于硅管，发射结正偏电压应为 0.6~0.8 V，对于锗管，发射结正偏电压应为 0.2~0.3 V；对于 PNP 管，集电极电位最低，发射极电位最高，对于 NPN 管，集电极电位最高，发射极电位最低。由此可判别：图 1.8(a) 是 PNP 锗管，电路符号如图 1.8(c) 所示。图 1.8(b) 是 NPN 硅管，电路符号如图 1.8(d) 所示。

1.9 已测得晶体三极管各极对地电位如图 1.9 所示。试判断各晶体三极管处于何种工作状态(饱和、放大、截止或损坏)。

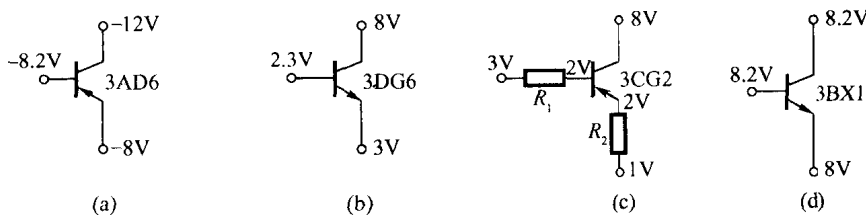


图 1.9

解：在图 1.9(a) 中，3AD6 是锗 PNP 管， $V_{BE} = -0.2 \text{ V}$ ，即发射结正偏， $V_{CB} = -3.8 \text{ V}$ ，即集电结反偏，所以晶体管工作在放大区。

在图 1.9(b) 中，3DG6 是硅 NPN 管， $V_{BE} = -0.7 \text{ V}$ ，即发射结反偏， $V_{CB} = 5.7 \text{ V}$ ，即集电结反偏，所以晶体管工作在截止区。

在图 1.9(c) 中，3CG2 是硅 PNP 管， $V_{BE} = 0$ ，而 I_E 和 I_B 不为零，表明发射结短路，晶体管已损坏。

在图 1.9(d)中,3BX1 是锗 NPN 管, $V_{BE} = 0.2$ V, 即发射结正偏, $V_{CB} = 0$, 即集电结零偏, 所以晶体管工作在临界饱和区。

1.10 共射电路如图 1.10(a)所示。已知晶体管的 $\beta = 50$, $I_{CBO} = 0$, $V_B = 5.6$ V, $R_B = 100$ k Ω , $V_{CC} = 12$ V, $V_{BE(on)} = 0.6$ V。

(1) 如 $R_C = 2$ k Ω , 试求基极电流 I_B 、集电极电流 I_C 和 V_{CE} 的值, 并说明电路的工作状态。

(2) 如 $R_C = 5.1$ k Ω , 重复(1)。

(3) 如晶体管工作在放大状态, 调节 R_B 使集电极电流 $I_C = 2$ mA, 厄尔利电压 $|V_A| = 120$ V, $r_{bb'} = 50$ Ω , 试画出晶体管的低频微变等效电路, 并标出元件值。

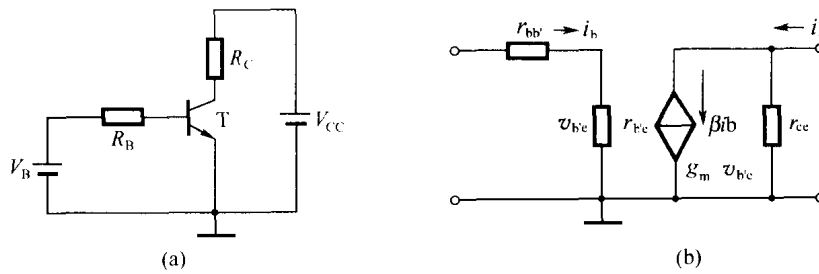


图 1.10

$$\text{解:(1)} \quad I_B = \frac{V_B - V_{BE(on)}}{R_B} = \frac{5.6 - 0.6}{100} = 0.05 \text{ (mA)}$$

$$I_C = \beta I_B = 50 \times 0.05 = 2.5 \text{ (mA)}$$

$$V_{CE} = V_{CC} - I_C R_C = 12 - 2.5 \times 2 = 7 \text{ (V)}$$

$$V_{CB} = V_{CE} - V_{BE} = 7 - 0.6 = 6.4 \text{ (V)}$$

即发射结正偏, 集电结反偏, 晶体管工作在放大区。

(2) 当 $R_C = 5.1$ k Ω 时, I_B 仍为 0.05 mA。假设晶体管工作在放大区, 则 $I_C = \beta I_B = 2.5$ mA, $V_{CE} = 12 - 2.5 \times 5.1 = -0.75$ (V), 这是不可能的, 表明晶体管工作在饱和区, β 下降了。设 $V_{CS} = 0.3$ V, 则

$$I_{Cmax} = \frac{V_{CC} - V_{CS}}{R_C} = \frac{12 - 0.3}{5.1} = 2.29 \text{ (mA)} < 2.5 \text{ mA}$$

(3) 晶体管的微变等效电路如图 1.10(b)所示, 其中

$$r_{bb'} = (1 + \beta) \frac{V_T}{I_{EQ}} = \beta \frac{V_T}{I_{CQ}} = 50 \times \frac{26}{2} = 650 \text{ (\Omega)}$$

$$r_{ce} = \frac{|V_A|}{I_C} = \frac{120}{2} = 60 \text{ (k\Omega)}$$

$$g_m = \frac{I_{CQ}}{V_T} = \frac{2}{26} \text{ S} = 76.9 \text{ mS}$$

1.11 N^+ PN型晶体管基区的少数载流子的浓度分布曲线如图 1.11 所示。

(1) 说明每种浓度分布曲线所对应的发射结和集电结的偏置状态。

(2) 说明每种浓度分布曲线所对应的晶体管的工作状态。

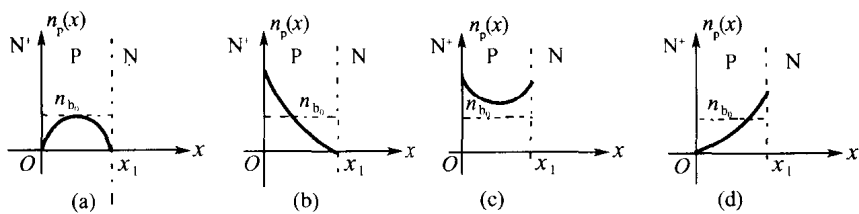


图 1.11

解:(1)对于 N^+ PN 晶体管,当发射结(集电结)正偏时,由于从发射区(集电区)向基区注入了非平衡少子电子,所以 $x = 0$ ($x = x_1$) 处 P 区边界上少子电子的浓度大于平衡的电子浓度 n_{b0} ,当发射结(集电结)反偏时,在阻挡层两侧边界上的少子浓度趋向于零。据此,可以判别:

(1) 图 1.11(a):发射结反偏,集电结反偏。图 1.11(b):发射结正偏,集电结反偏。图 1.11(c):发射结正偏,集电结正偏。图 1.11(d):发射结反偏,集电结正偏。

(2) 图 1.11(a):截止。图 1.11(b):放大。图 1.11(c):饱和。图(d):反向放大。

1.12 已知场效应晶体管的输出特性或转移特性如图 1.12 所示。试判别其类型,并说明 $V_{DS} = |10V|$ 的饱和漏电流、夹断电压(或开启电压)各为多少。

解: FET 有 JFET 和 MOSFET, JFET 有 P 沟(V_{GS} 只能为正)和 N 沟(V_{GS} 只能为负)之分。MOSFET 中有耗尽型 P 沟和 N 沟(V_{GS} 可为正、零或负),增强型 P

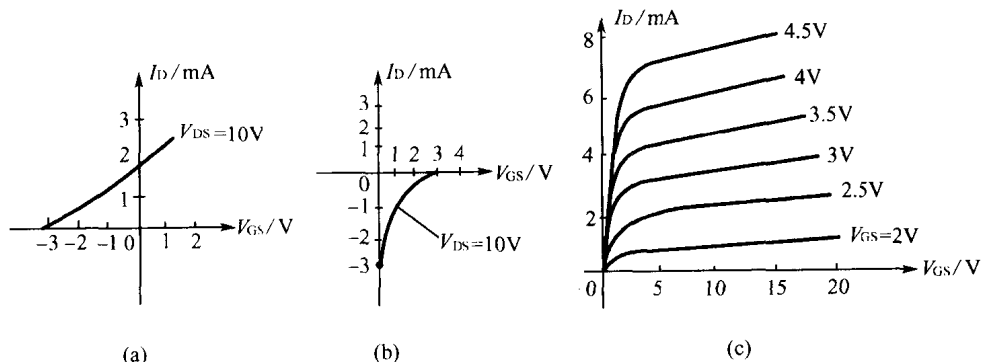


图 1.12

沟(V_{GS} 只能为负)和N沟(V_{GS} 只能为正)。

图 1.12(a): N 沟耗尽型 MOSFET, $I_{DSS} = 2 \text{ mA}$, $V_{GS(th)} = -3 \text{ V}$ 。

图 1.12(b): P 沟结型 FET, $I_{DSS} = 3 \text{ mA}$, $V_{GS(th)} = 3 \text{ V}$ 。

图 1.12(c): N 沟增强型 MOSFET, I_{DSS} 无意义, $V_{GS(th)} = 1.5 \text{ V}$ 。

1.13 已知各 FET 各极电压如图 1.13 所示, 并设各管的 $|V_{GS(th)}| = 2 \text{ V}$ 。试分别判别其工作状态(可变电阻区, 饱和区, 截止区或不能正常工作)。

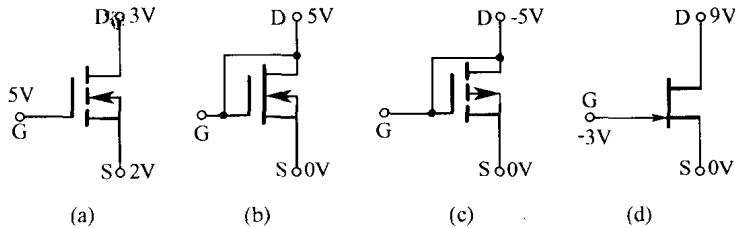


图 1.13

解: 图 1.13(a)中, N 沟增强型 MOSFET, 因为 $V_{GS} = 3 \text{ V} > V_{GS(th)} = 2 \text{ V}$, $V_{GD} = 2 \text{ V} = V_{GS(th)} = 2 \text{ V}$, 所以工作在临界饱和状态。

图 1.13(b)中, N 沟耗尽型 MOSFET, $V_{GS} = 5 \text{ V} > V_{GS(th)} = -2 \text{ V}$, $V_{GD} = 0 > V_{GS(th)} = -2 \text{ V}$, 所以工作在可变电阻区。

图 1.13(c)中, P 沟增强型 MOSFET, $V_{GS} = -5 \text{ V} < V_{GS(th)} = -2 \text{ V}$, $V_{GD} = 0 > V_{GS(th)} = -2 \text{ V}$, 所以工作在饱和区。

图 1.13(d)中, 为 N 沟 JFET, $V_{GS} = -3 \text{ V} < V_{GS(th)} = -2 \text{ V}$, 所以工作在截止区。

1.14 已知场效应管电路如图 1.14(a)所示。设 MOSFET 的 $\mu_n C_{ox} W / 2L = 80 \mu\text{A}/\text{V}^2$, $V_{GS(th)} = 1.5 \text{ V}$, 忽略沟道长度调制效应。

(1) 试求漏极电流 I_{DQ} , 场效应管的 V_{GSQ} 和 V_{DSQ} 。

(2) 画出电路的低频微变等效电路, 并求参数 g_m 的值。

解:(1) 设电路工作在饱和区, 则

$$I_{DQ} = \frac{\mu_n C_{ox} W}{2L} (V_{GSQ} - V_{GS(th)})^2 = 80 \times 10^{-6} (V_{GSQ} - 1.5)^2$$

$$V_{GSQ} = V_{DD} \frac{R_{G2}}{R_{G1} + R_{G2}} - I_{DQ} \cdot R_S = 10 \times \frac{1}{1.5 + 1} - I_{DQ} \times 10^3$$

联立上式求解得

$$I_{DQ} = 0.375 \text{ mA}$$

$$V_{GSQ} = 3.625 \text{ V}$$

$$V_{DSQ} = 5.875 \text{ V}$$

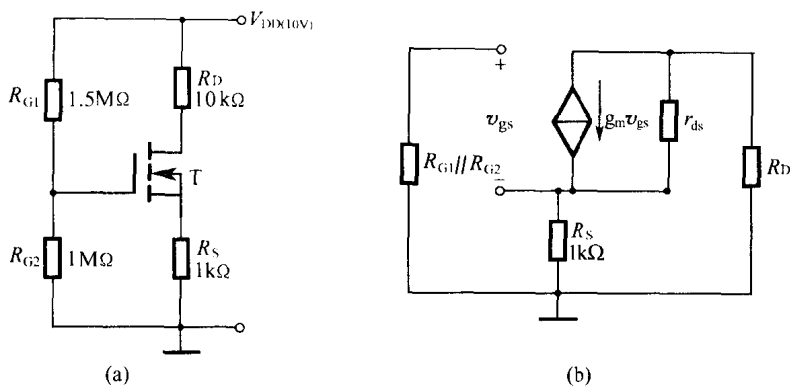


图 1.14

$$V_{GSQ} = 3.625 > V_{GS(th)} = 1.5 \text{ V}$$

$$V_{GDQ} = V_{GSQ} - V_{DSQ} = 3.625 \text{ V} - 5.875 \text{ V} = -2.25 \text{ V} < V_{GS(th)}$$

可见符合工作在饱和区的假设条件。

(2) 低频微变等效电路如图 1.14(b)所示。

$$g_m = 2 \cdot \frac{\mu_n C_{ox} W}{2L} (V_{GS} - V_{GS(th)}) = 340 \mu\text{S}$$

1.15 场效应管电路如图 1.15 所示。并设各管的 $\frac{\mu_n C_{ox} W}{2L}$ 均相同, $|V_{GS(th)}| = 2 \text{ V}$ 。略去沟道长度调制效应。试求各电路 V_o 的值, 并检验各管是否工作在饱和区。

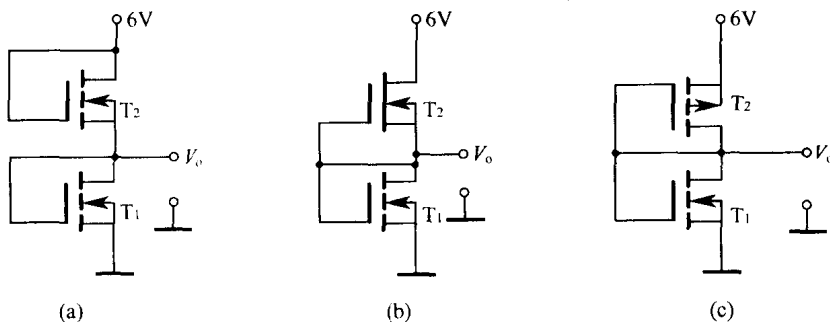


图 1.15

解：图 1.15(a)中, $V_o = 3V$, $V_{GSI} = V_{GS2} = 3V > V_{GS(th)} = 2V$, $V_{GDI} = V_{GD2} = 0 < V_{GS(th)}$, 所以是工作于饱和区。

图 1.15(b)中, 利用 $I_D = \frac{\mu_n C_{ox} W}{2L} (V_{GS} - V_{GS(th)})^2$ 和 $I_{D1} = I_{D2} = I_D$, 可解得 $V_o = V_{GSI} = 4V$ 。

$$\begin{cases} V_{GSI} > V_{GS(th)} = 2V, \\ V_{GDI} = 0 < V_{GS(th)} = 2V, \end{cases} \quad \begin{cases} V_{GS2} = 0 > V_{GS(th)} = -2V \\ V_{GD2} = -2V = V_{GS(th)} = -2V \end{cases}$$

所以 T_1 和 T_2 均处于饱和区。

图 1.15(c)中, $V_o = 3V$,

$$V_{GSI} = 3V > V_{GS(th)} = 2V, \quad V_{GDI} = 0V < V_{GS(th)} = 2V$$

$$V_{GS2} = -3V < V_{GS(th)} = -2V, \quad V_{GD2} = 0V > V_{GS(th)} = -2V$$

所以 T_1 和 T_2 均处于饱和区。

习 题

1.1 对于一个 PN 结, 其两边掺杂浓度越大, 则内建电位差_____, 阻挡层宽度_____, 阻挡层两边的电荷量_____, 阻挡层主要向杂质浓度_____区域延伸; PN 结外加正向电压, 内建电位差_____, 此时扩散电流_____, 漂移电流_____; PN 结外加反向电压, 阻挡层宽度将_____, 使_____电流占优势。

1.2 PN 结有雪崩和齐纳两种击穿机理。雪崩击穿发生在掺杂浓度____的 PN 结中, 击穿电压一般在____V 以上, 击穿电压的温度特性具有____温度系数; 齐纳击穿发生在掺杂浓度____的 PN 结中, 击穿电压一般在____V 以下, 击穿电压的温度特性具有____温度系数; 利用 PN 结的击穿特性可制成_____。

1.3 PN 结具有非线性电容特性, 它有____电容和____电容两部分组成; 正偏时 PN 结的电容以____电容为主, 它随 PN 结的正向电流增加而____; 反偏时 PN 结的电容以____电容为主, 它随外加反向电压的增加而____; 利用____电容可制成变容二极管。

1.4 本征半导体中分别掺入施主杂质 N_D 和受主杂质 N_A , 根据电荷中性定律写出决定自由电子和空穴浓度的方程式。

1.5 在室温 27℃ 时, 某硅二极管的反向饱和电流 $I_S = 20 \text{ pA}$ 。

(1) 如果二极管加 0.6V 的正向电压, 则二极管的电流是多少?

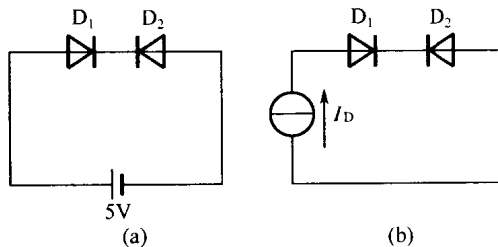
(2) 如果二极管加 1V 的反向电压, 则二极管的电流是多少?

1.6 有两个相同的硅二极管反向串联与 5V 直流电源相连接, 如题图 1.6(a)所示。设室温时二极管的反向饱和电流为 $2 \times 10^{-12} \text{ A}$ 。

(1) 设二极管的击穿电压大于 5V, 试求室温时每个二极管两端的电压。

(2) 如二极管的击穿电压为 4.9V, 求电路中的电流。

(3) 设二极管的击穿电压为 5 V, 并已知两管反向连接后通过它们的电流为 3.2 mA, 如题图 1.6(b) 所示。试求室温时每个二极管两端的电压(此时, 外加电压 $\neq 5$ V)。



题图 1.6

1.7 室温 $T = 300$ K 时, 硅二极管的正向电压 $V_D = 0.7$ V, 其电流为 1 mA, 试计算正向电压增加至 0.8 V 时二极管的电流为多少。

1.8 二极管电路如题图 1.8 所示。

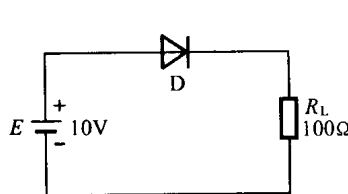
(1) 设二极管为理想二极管, 试问流过负载 R_L 的电流为多少?

(2) 设二极管可看作是理想二极管和电压源串联, 并设二极管的门限电压 $V_{D(\text{th})} = 0.6$ V, 试问流过负载 R_L 的电流是多少?

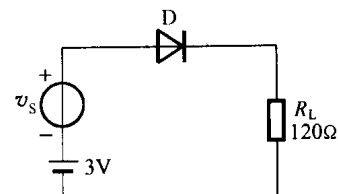
(3) 设二极管可看作是电阻和电压源串联, 并设二极管的门限电压 $V_{D(\text{th})} = 0.6$ V, $R_D = 20 \Omega$, 试问流过负载的电流是多少?

(4) 将电源电压反接时, 流过负载电阻的电流是多少?

(5) 增加电源电压 E , 其他参数不变时, 二极管的交流电阻怎样变化?



题图 1.8



题图 1.9

1.9 二极管电路如题图 1.9 所示。设二极管的工作电压 $V_D = 0.7$ V。

(1) 试求二极管的交流电阻 r_a 。

(2) 如信号 $v_s = 0.01 \sin \omega t$ (V), 试问回路的交流电流峰值为多少?